



اثر تنش خشکی بر پارامترهای فیزیولوژیکی و تجمع اسیدهای آمینه در کلزا

حسن زالی^۱، طاهره حسنلو^۲، امید سفالیان^۳، علی اصغری^۳ و مهرشاد زین العابدینی^۴

۱- داشتجویی دکتری و دانشیار، دانشگاه محقق اردبیلی

۲- استادیار، بخش فیزیولوژی مولکولی، پژوهشکده بیوتکنولوژی کشاورزی ایران، نویسنده مسؤول، (thasanloo@abrii.ac.ir)

۳- استادیار، بخش زیست‌محیطی، پژوهشکده بیوتکنولوژی کشاورزی ایران

تاریخ دریافت: ۹۳/۱۰/۲۹ تاریخ پذیرش: ۹۳/۱۲/۲

چکیده

این تحقیق، به منظور بررسی اثر تنش خشکی بر پارامترهای فیزیولوژیکی و تجمع اسیدهای آمینه در دو رقم کلزا (SLM046) و Cooper به ترتیب متحمل و حساس به خشکی) و در دو مرحله از فاز رویشی (مرحله ساقه‌رفتن و گل‌دهی) انجام شد. سطوح آبیاری شامل ۸۰ میلی‌متر تبخیر از تشتک تبخیر (شاهد) و قطع آبیاری در مرحله ساقه‌رفتن و گل‌دهی بود. نتایج نشان داد که در شرایط تنش آبی، عملکرد دانه، هدایت روزنه‌ای، کلروفیل *a* و *b*، محتوای کاروتینوئید و پروتئین محلول، در برگ هر دو رقم، به طور معنی‌داری کاهش یافته است. فعالیت آنزیمهای آنتی‌اسیدان (اکسیداز، پراکسیداز و اسکوربات پراکسیداز) در شرایط تنش در مرحله ساقه‌رفتن افزایش یافته، اما فعالیت آنزیمهای پراکسیداز و اسکوربات پراکسیداز یافته است. اسیدهای آمینه تریپتوфан، سرین، گلوتامین و آلفا-آمینو بوتیریک اسید، فراوانی بالایی از محتوای کلی اسیدهای آمینه را در مرحله ساقه‌رفتن داشتند، هم‌چنین اسیدهای آمینه گلوتامین، ایزولوسین، سرین و هیستیدین در مرحله گل‌دهی بالاترین مقدار از مجموع اسیدهای آمینه را به خود اختصاص دادند. افزایش محتوای بیشتر اسیدهای آمینه در پاسخ به تنش خشکی در مرحله گل‌دهی مشاهده شد. تجمع معنی‌دار اسیدهای آمینه آسپاراتیک اسید، آسپاراژین، گلوتامین، لیزین، سیستئن، تریپتوфан و فیبلالاتین تحت شرایط تنش در مرحله ساقه‌رفتن و تجمع اسیدهای آمینه گلوتامین، گلایسین، تیروزین، متیونین، فنیل‌الاتین و ایزولوسین تحت شرایط تنش در مرحله ژنوتیپ متحمل SLM046 می‌باشد، در حالی که هیچ تجمع معنی‌داری از اسیدهای آمینه در ژنوتیپ حساس Cooper تحت شرایط تنش مشاهده نشد. بنابراین می‌توان نتیجه گرفت که تجمع اسیدهای آمینه آزاد ارتباط نزدیکی با تحمل به خشکی ژنوتیپ‌های متحمل دارد.

واژه‌های کلیدی: اسیدهای آمینه، آنزیمهای آنتی‌اسیدان، تنش خشکی، کلروفیل، کلزا

اسیدهای آمینه، نقش مهمی در تحمل گیاهان به تنش خشکی بازی می‌کنند (۴۱،۴۲). تنظیم اسمزی (از طریق تجمع اسیدهای آمینه‌ای مانند گلایسین، پرولین، الانین و والین) (۲)، سمیت‌زدایی گونه‌های اکسیژن فعال و تنظیم pH درون سلولی (۳۸)، قسمتی از نقش اسیدهای آمینه در تحمل گیاهان به تنش خشکی می‌باشد. بعضی از اسیدهای آمینه در سنتز پروتئین‌ها و برخی به صورت منبع نیتروژن (۸) و بعضی دیگر به گونه‌ی پیش‌ماده بیوسترنی برای ترکیبات ثانویه به کار می‌روند (۳۶). افزایش مقدار اسیدهای آمینه در شرایط تنش خشکی، ممکن است به علت کاهش سنتز پروتئین‌ها و تحریک بیوسترن اسیدهای آمینه (۶) و پروتئولیز پروتئین‌ها (۲۵) باشد. از طرفی به علت تحریک پروتئولیز در طول دوره تنش رطوبتی، میزان نیتروژن محلول در بافت‌های گیاهی افزایش پیدا می‌کند (۶). در میان اسیدهای آمینه مختلف، پرولین منبع انرژی، کربن و نیتروژن است که بعد از رفع تنش رطوبتی و برای بازگشت گیاه به شرایط قبل از اعمال تنش رطوبتی مورد توجه قرار گرفته است (۴۳،۸). پرولین در مقادیر زیاد در پاسخ به تنش‌های محیطی، تجمع می‌یابد. شکستن سریع پرولین بعد از پایان یافتن شرایط تنش، ممکن است خود تامین کننده عوامل مورد نیاز

مقدمه

خشکی یکی از مهم‌ترین تنش‌های محیطی است که تعیین کننده توزیع پوشش گیاهی و محدودیت تولید در بخش کشاورزی می‌باشد و همچنین یک خطر جدی در تأمین امنیت غذایی جهان است. یکی از روش‌های مقابله با خشکی، توسعه ارقام زراعی متحمل به خشکی است. بنابراین فهم مکانیسم‌ها و سازوکارهای تحمل به خشکی در گیاهان زراعی مهم می‌باشد (۲). گیاهان در مواجه با خشکی نیاز به مکانیسم‌هایی دارند که بتوانند پاسخ مناسبی به این تنش بدeneند. یکی از این مکانیسم‌ها تنظیم اسمزی است، که نوعی واکنش سازگاری به تنش خشکی است که از طریق تجمع مواد محلول درون سلول‌ها، می‌تواند به حفظ تورژسانس سلول‌ها و فرایندهای وابسته به آن در پتانسیلهای پایین آب منجر شود (۱۰). این تنظیم از طریق تولید بیشتر مواد آلی مانند پروتئین، قندهای محلول (۳۶) و اسیدهای آمینه (۴۲) در اندام‌های هوایی و ریشه صورت می‌گیرد.

گزارش‌های مختلف در مورد اثر تنش خشکی بر روی محتوای اسیدهای آمینه در گیاهان زراعی مختلف، نشان داده که تحت تأثیر تنش رطوبتی محتوای کل اسیدهای آمینه به طور معنی‌داری افزایش می‌یابد (۱۷، ۲۵، ۲۶، ۳۶، ۴۰). متابولیسم

مواد و روش‌ها

کشت مزرعه‌ای این آزمایش به صورت طرح کرت‌های خرد شده در قالب طرح بلوک‌های کامل تصادفی با ۳ تکرار در مزرعه مرکز تحقیقات و منابع طبیعی یزد در سال ۱۳۹۱-۹۲ اجرا شد. در این طرح، تیمار آبیاری در کرت اصلی در سه سطح شامل تیمار شاهد (آبیاری به صورت نرمال بعد از ۸۰ میلی‌متر تبخیر از سطح تشک تبخیر)، تنش در مرحله ساقه‌رفتن (آبیاری بعد از ۱۶۰ میلی‌متر تبخیر از سطح تشک تبخیر) و تیمار تنش در مرحله گل‌دهی (آبیاری بعد از ۱۶۰ میلی‌متر تبخیر از سطح تشک تبخیر) و دو رقم SLM046 (مقاوم به خشکی) و Cooper (حساس‌تر به خشکی) در کرت فرعی قرار گرفتند. اندازه هر کرت آزمایشی ۲ در ۱ متر بوده و در هر کرت، دو خط کشت با فاصله ۸۰ سانتی‌متر و حاشیه ۲۰ سانتی‌متر در نظر گرفته شد. فاصله دو بوته از هم روی خط کشت ۶ سانتی‌متر و عمق کشت ۱ سانتی‌متر می‌باشد. برای جلوگیری از آلودگی قارچی، بذور از طریق هیپو کلریت سدیم ۵٪ به مدت ۵ دقیقه ضدغوفونی شدند. در زمان کشت از کود فسفره (بر پایه ۲۰۰ کیلوگرم سوپر فسفات در هکتار) و پتانس (بر پایه ۲۰۰ کیلوگرم نیترات پتاسیم در هکتار) به صورت پیش‌کاشت استفاده شد. هم‌چنین، نصف کود ازته مورد نیاز (۲۰۰ کیلوگرم در هکتار) به صورت پیش‌کاشت و نصف مابقی به صورت سرک در مرحله -۴ ۵ برگی به خاک اضافه شد. نمونه‌برداری در سه مرحله، یعنی ۱۰ روز بعد از اعمال تنش در مرحله ساقه‌رفتن، ۱۰ روز بعد از اعمال تنش در مرحله گل‌دهی و در نهایت زمان رسیدگی کامل کلزا انجام شد.

اندازه‌گیری شاخص تغییرات کلروفیل (عدد SPAD) با استفاده از کلروفیل متر SPAD-502 مدل Minolta ساخت ژاپن و اندازه‌گیری هدایت روزنه‌ای با استفاده از دستگاه پرومتر AP4، مدل MK، Delta، UK از ۳ برگ بالای پوشش گیاهی در هر تکرار انجام شد. استخراج کلروفیل و کاروتونئید برگ مرجع با استفاده از استن ۸۰ درصد و اندازه‌گیری آن با استفاده از روش تغییر یافته آرونون (۴) محاسبه شد. سپس میزان جذب نوری محلول به دست آمده با استفاده از دستگاه اسپکتروفوتومتر Cary 300، USA (در طول موج‌های ۴۷۰، ۶۴۵ و ۶۶۳ و قرائت گردید. غلظت کلروفیل a، کلروفیل b، کلروفیل کل و کاروتونئید بر اساس روابط زیر (۴) تعیین گردید. در روابط زیر V حجم نمونه استخراج شده و W وزن نمونه می‌باشد.

فسفوریلاسیون اکسیداتیو میتوکندریایی و تولید ATP برای ترمیم خدمات ناشی از تنش باشد (۷).

دروزوپولوس و همکاران (۱۸) در بررسی ارقام مختلف گندم در تنش رطوبتی، گزارش کردند که غلظت اسیدهای آمینه گلوتامیک اسید، آسپاراتیک اسید، سرین، گلوتامین، آلانین، سرین، لوسمین، آلانین، آسپارژین، آلفا-امینوبوتیریک اسید و پرولین به طور معنی‌داری در برگ و خوش ارقام مختلف گندم افزایش می‌یابد. افزایش معنی‌دار غلظت اسیدهای آمینه گلایسین، لورنیتین، فنیل‌آلانین و والین نیز در ارقام مختلف جو در تنش خشکی از سوی سینگ و همکاران (۴۳) گزارش شده است. یکی از تغییراتی که در زمان مواجه گیاهان با تنش حدث می‌شود، تولید گونه‌های اکسیژن فعال است (۳۷). سوپر اکسید که یکی از انواع گونه‌های اکسیژن فعال است، می‌تواند اسیدهای آمینه هیستیدین، متیونین و تریپتوفان را اکسید نماید (۹). یکی از راه‌های مقابله گیاهان با اثرات منفی انواع اکسیژن فعال، استفاده از مکانیسم‌های دفاعی مانند آنزیم‌های آنتی‌اکسیدان می‌باشد (۳۷). آسکوربیات پراکسیداز یکی از آنزیم‌های آنتی‌اکسیدان است که نقش چشم‌گیری در سمتی‌زدایی گونه‌های اکسیژن فعال را به عنده دارد (۵). با توجه به سمی بودن پراکسید هیدروژن برای سلول‌های گیاهی و به ویژه برای کلروپلاست و از آن جایی که کاتالاز فقط در پراکسی‌زوم وجود دارد (۴۵)، بنابراین آسکوربیات پراکسیداز می‌تواند نقش مهمی در خشی کردن اثر گندم از سمی پراکسید هیدروژن داشته باشد. آنزیم کاتالاز به شرایط تنش سیار حساس می‌باشد و از آن می‌توان به صورت یک نشانگر اعمال تنش استفاده کرد (۳۱). افزایش در فعالیت کاتالاز در گیاهان تحت تنش، در سایر مطالعات نیز گزارش شده است (۳،۲۳). در مقابل این نتایج، جینگ و هونگ (۲۴)، کاهش معنی‌داری در فعالیت کاتالاز در گراس‌های تحت تیمار تنش گزارش کردند.

یکی از مراحل حساس به خشکی در کلزا، مرحله گل‌دهی می‌باشد (۳۵)، هم‌چنین با توجه به افزایش خشک‌سالی در سال‌های اخیر، ممکن است در آینده، کلزا در مرحله ساقه‌رفتن هم با تنش خشکی مواجه شود. از طرفی اطلاعات کمی در مورد تاثیر تنش خشکی بر محتوای اسیدهای آمینه در برگ ارقام کلزا وجود دارد. بنابراین این تحقیق به منظور تعیین سطوح اسیدهای آمینه آزاد در پاسخ به تنش آبی در دو ژنوتیپ کلزا - که از نظر تحمل به خشکی با هم متفاوت بودند - و در دو مرحله ساقه‌رفتن و گل‌دهی انجام شد.

$$C_a(\text{mg/g FW}) = \frac{(12.7A_{663} - 2.69A_{645}) \times V}{1000 \times W}$$

$$C_b(\text{mg/g FW}) = \frac{(22.9A_{645} - 4.68A_{663}) \times V}{1000 \times W}$$

$$C_t(\text{mg/g FW}) = \frac{(20.2A_{645} + 8.02A_{663}) \times V}{1000 \times W}$$

$$Car(\text{mg/g FW}) = \frac{(1000A_{470} - 1.82C_a - 85.02C_b) \times V}{198 \times 1000 \times W}$$

سانتریفیوژ شدن. از این عصاره‌های توان برای تعیین غلظت پروتئین و فعالیت آنزیم‌های کاتالاز، پراکسیداز و آسکوربات پراکسیداز استفاده نمود.

فعالیت آنژیم کاتالاز (CAT) به روش ابی (۱۱.۱.۶) در طول موج ۲۴۰ نانومتر اندازه‌گیری شد. فعالیت آنژیم آسکوربیات پراکسیداز (۱۱.۱.۱۱) (APX) به روش ناکانو و آسادا (۳۴) در طول موج ۲۹۰ اندازه‌گیری و فعالیت آنژیم پراکسیداز (۱۱.۱.۷) (POX) به روش چانس و مهلهی (۱۱.۱.۸) در طول موج ۴۷۰ نانومتر اندازه‌گیری شد.

نتائج و بحث

نتایج حاصل از مقایسه میانگین‌های عملکرد دانه در شرایط تنش ساقه‌رفتن و گل‌دهی نشان داد که عملکرد دانه ژنوتیپ SLM046 در تیمار شاهد بیشتر از ژنوتیپ Cooper می‌باشد (جدول ۱). اعمال تیمار خشکی باعث کاهش معنی‌دار عملکرد هر دو ژنوتیپ شد، ولی کاهش عملکرد در ژنوتیپ Cooper بیشتر از ژنوتیپ SLM046 بود. از طرفی کاهش عملکرد دانه در شرایط تنش ساقه‌رفتن بیشتر از مرحله تنش گل‌دهی می‌باشد. با توجه به حساس‌تر بودن مرحله گل‌دهی کلزا به تنش خشکی (۳۵٪ می‌توان این کاهش عملکرد را به طول مدت بیشتر تنش ساقه‌رفتن، نسبت به گا، دهن، مربوط دانست.

مقایسه میانگین شاخص تغییرات کلروفیل بین دو ژنوتیپ SLM046 و Cooper در شرایط غیرتنش و تنش در مرحله ساقه‌رفتن انجام شد (جدول ۱). نتایج نشان می‌دهد که شاخص تغییرات کلروفیل در هر دو ژنوتیپ در شرایط تنش افزایش یافته است و این افزایش در ژنوتیپ SLM046 معنی‌دار می‌باشد. احتمالاً علت افزایش در شاخص تغییرات کلروفیل، به دلیل کاهش آب برگ و افزایش غلظت کلروفیل در واحد سطح و در نهایت تیره‌تر شدن برگ می‌باشد. همچنین در شرایط تنش گل‌دهی افزایش معنی‌دار شاخص تغییرات کلروفیل در شرایط تنش، در هر دو ژنوتیپ مشاهده شد (جدول ۱).

نتایج مقایسه میانگین (جدول ۱)، بالا بودن هدایت روزنه‌ای در ژنوتیپ Cooper را نسبت به ژنوتیپ SLM046 در شرایط تنش در مرحله ساقه‌رفتن و شرایط بدون تنش نشان داد. همچنین، کاهش معنی‌دار هدایت روزنه‌ای در ژنوتیپ SLM046 و Cooper در شرایط تنش ساقه‌رفتن و گل‌دهی نسبت به شرایط بدون تنش معنی‌دار می‌باشد (جدول ۱ و ۲). در مجموع تنش خشکی باعث کاهش هدایت روزنه‌ای می‌شود. روزنه‌ها نقش کلیدی در مسیرهای اتلاف آب و جذب CO_2 دارند. هنگامی که گیاه در معرض تنش خشکی قرار می‌گیرد، روزنه‌ها به سمت بسته شدن پیش می‌روند که از عوامل آن می‌توان به وجود آبسزیک اسید و کاهش پتانسیل آماس در برگ اشاره کرد (۱۴). بنابراین نتایج حاکی از این است که بسته شدن روزنه‌ها، یکی از اولین اقدامات سریع گیاه نسبت به تنش کمود آب می‌باشد. در هنگام بروز تنش خشکی، سهم نسبی محدودیت روزنه‌ای در کاهش فتوسترات، وابسته به میزان تنش خشکی است.

برای اندازه‌گیری پرولین، ابتدا 0.3 g برگ گیاهی پودر شده را درون یک فالکون 15 mL میلی‌متری ریخته، سپس 10 mL لیتر اسید سولفوسالیسیلیک 3 mL درصد را به آن اضافه کرده و حدود 10 mL دقیقه آن ورتكس شده است. سپس فالکن‌ها با سرعت 13500 دور در دقیقه به مدت 15 mL دقیقه در دمای 4°C درجه سانتی‌گراد سانتریفیوژ شدن. مقدار 2 mL لیتر از روشناتور ناشی از سانتریفیوژ را درون فالکن 15 mL لیتر اسید استیک گالاشیال میلی‌لیتر اسید ناین‌هایدرين و 2 mL میلی‌لیتر اسید استیک گالاشیال به آن افزوده و سپس خوب ورتكس گردید. نمونه‌ها را در حمام آب گرم در دمای 100°C درجه سانتی‌گراد به مدت یک ساعت قرار داده و سپس درون حمام آب بخ قرار داده تا کاملاً سرد شده و واکنش متوقف گردد. به هر نمونه بعد از سرد شدن، 4 mL میلی‌لیتر تولوئن اضافه نموده و آن به مدت 20 s ثانیه ورتكس شده و سپس میزان جذب نوری با استفاده از دستگاه اسپکتروفتومتر Cary 300, USA در طول موج‌های 520 nm تعیین گردید.⁽⁷⁾

برای سنجش اسیدهای آمینه، مقدار 0.3 گرم بافت تر درون ویال $1/5$ میلی‌متری دریچه‌دار ریخته و بر روی آن 1 میلی‌لیتر اتانول 80% ریخته و ویال‌های حاوی نمونه به بن‌ماری شیکرداد (ترمومیکسر) با دمای 80 درجه سانتی‌گراد به مدت 1 منطق شدند. بعد از آن نمونه‌ها به مدت 10 دقیقه با دور 13000 دور در دقیقه در دمای 4 درجه سانتی‌گراد سانتریفیوژ شدند. سپس محلول رویی برداشته شده و به ویال‌های 2 میلی‌متری جدید انتقال یافت. نمونه را درون دستگاه تغییظ کننده^۱ در دمای 30 درجه قرار داده تا محلول الكلی آن ها بیرد. درون ویال خارج شده از دستگاه تغییظ کننده^۲، میلی‌لیتر آب مقتصر دیوبینزه ریخته و ورتكس شده است. این محلول به کمک فیلتر $45/40$ میکرومتر صاف شد. درون ویال 2 میلی‌متری جدید، 250 میکرولیتر از این محلول صاف شده ریخته و سپس 200 میکرولیتر بافر بورات و در نهایت 100 میکرولیتر OPA^۳ اضافه گردید. دقیقاً بعد از 120 ثانیه، مقدار 50 میکرولیتر HCl $1/5$ مولار به ویال افزوده، در ویال را بسته چند بار دستی آن را تکان داده و در نهایت با سرنگ مخصوص، به دستگاه HPLC^۴ با ستون C18، C18 HALO 5 سانتی‌متری (دمای ستون 25 درجه سانتی‌گراد) و فازهای متحرک (حلال‌ها) با شدت جریان $1/1$ میلی‌لیتر بر دقیقه، تزریق شد. با تزریق غلظت‌های مختلف هر یک از اسیدهای آمینه و محاسبه مساحت سطح زیر منحنی هر یک از غلظت‌های داده شده به دستگاه و تعیین رابطه غلظت و سطح زیر منحنی، منحنی استاندارد رسم شده و مقادیر کمی هر اسیدهای آمینه محاسبه شد (۳۱).

مقدار پروتئین محلول کل به روش بردفورد (۱۱) اندازه‌گیری شد.
 $\frac{۱}{۳}$ ماده گیاهی پودر شده درون ویال ریخته شده و $\frac{۱}{۵}$ میلی‌لیتر از بافر فسفات پتاسیم ۵۰ میلی‌مولار ($\text{pH} = ۷$) حاوی سدیم متاپای سولفات یک میلی‌مولار و پلی وینیل پیرولیدین به آن اضافه و نمونه‌ها حدود ۱۰ دقیقه ورتكس شده است. نمونه‌ها به مدت ۳۰ دقیقه در دمای ۴ درجه سانتی‌گراد با دور ۱۳۵۰۰

فعالیت آنژیم کاتالاز در دو شرایط تنش نسبت به شرایط بدون تنش نشان داد که میزان فعالیت آن در شرایط تنش افزایش یافته است و این افزایش در شرایط تنش گل‌دهی بیشتر می‌باشد (جدول ۲ و ۳). افزایش در فعالیت کاتالاز در گیاهان تحت تنش در سایر مطالعات نیز گزارش شده است (۲۳، ۲۴). در مقابل این نتایج، جیانگ و هانگ (۲۴)، کاهش معنی‌داری در فعالیت کاتالاز گراس‌های تحت تیمار تنش گزارش کردند. قبادی و همکاران (۲۰)، بیان نمودند که فعالیت آنژیم کاتالاز در شرایط تنش شدید در جو، بیشتر از تنش ملایم و همچنین فعالیت کاتالاز در شرایط تنش ملایم بیشتر از شرایط آبیاری کامل است. مقدار افزایش در فعالیت آنژیم کاتالاز علاوه بر مرحله رشد گیاه، به رقم، نوع بافت گیاهی، شرایط آزمایش، شدت تنش اعمال شده و غیره بستگی دارد. ولی نظر غالب پژوهش‌گران، تأکید بر افزایش فعالیت کاتالاز در شرایط تنش نسبت به شرایط بدون تنش است. آسکوربات پراکسیداز - که یک آنتی‌اسیدان آنژیمی است، نقش چشم‌گیری در سمیت‌زدایی گونه‌های اکسیژن فعل بهویژه پراکسید هیدروژن را به عهده دارد (۴۵، ۱).

مقایسه میانگین میزان فعالیت آنژیم‌های آسکوربات پراکسیداز و پراکسیداز در شرایط تنش و بدون تنش نشان داد که میزان فعالیت این آنژیم‌ها در شرایط تنش در مرحله ساقه‌رفتن نسبت به شرایط بدون تنش افزایش یافته است (جدول ۲) ولی مقدار فعالیت آن در شرایط تنش در مرحله گل‌دهی نسبت به شرایط بدون تنش کاهش نشان داده است (جدول ۳). در تحقیق قبادی و همکاران (۲۰)، تنش خشکی بر میزان فعالیت آنژیم پراکسیداز در مقایسه با شرایط بدون تنش در گیاه جو معنی‌دار نبود. در مقابل مطالعات دیگری وجود دارد که افزایش در میزان فعالیت پراکسیداز را در شرایط تنش رطوبتی نشان می‌دهد (۳۱).

اسیدهای آمینه یکی مهم‌ترین متابولیت‌های گیاهی می‌باشند که نقش مهمی در تحمل گیاهان به تنش‌های محیطی و تنظیم فعالیت‌های درونی گیاه ایفاء می‌کنند (۳۶). بررسی سهم نسیی هر یک از اسیدهای آمینه در محتوای کلی آن‌ها در برگ ارقام کلزا مورد بررسی، نشان داد که اسیدآمینه تریپتوفان بیشترین سهم (۱۱/۹۴٪) را نسبت به سایر اسیدهای آمینه در محتوای کلی اسیدهای آمینه دارد و بعد از آن اسیدهای آمینه سرین (۱۱/۹۲٪)، گلوتامین (۱۱/۲۵٪)، آلفا-آمینو بوتیریک اسید (۸/۸۹٪)، هیستیدین (۷/۸۹٪)، ایزولوسین (۶/۸۱٪)، سیستئین (۶/۷۰٪) و گلوتامیک اسید (۶/۵۲٪) به ترتیب بیشترین سهم نسبی را در محتوای کلی اسیدهای آمینه در مرحله ساقه‌رفتن کلزا داشتند. از طرفی اسیدهای آمینه متیونین، آرژینین، تیروزین، فنیل‌آلائین، والین، و لوسین هر کدام سهمی کمتر از ۲ درصد را در محتوای کلی اسیدهای آمینه برگ ارقام کلزا در مرحله ساقه‌رفتن داشتند (شکل ۱). سعیدپور و مرادی (۳۹) بیان کردند محتوای کلی اسیدهای آمینه آلفا-آمینو بوتیریک اسید، گلوتامین، گلوتامیک اسید، آسپارتیک اسید، آسپاراژین، آلانین و سرین، بیشتر از سایر

لیانگ و همکاران (۲۸) نشان دادند که کاهش فعالیت بیوشیمیایی فتوسترن در تنش خشکی، بیشتر به علت کاهش هدایت روزنه‌ای و در نتیجه کاهش غلظت گاز کربنیک در محیط کلروپلاست می‌باشد.

نتایج مقایسه میانگین غلظت کلروفیل a، b و کل و کاروتونوئید در شرایط تنش در مرحله ساقه‌رفتن در جدول ۲ آمده است. غلظت کلروفیل a در ژنوتیپ SLM046، تغییر زیادی را نشان نمی‌دهد اما مقدار آن در ژنوتیپ Cooper در شرایط تنش کاهش معنی‌داری داشت. همچنین غلظت کلروفیل b در شرایط تنش در هر دو ژنوتیپ، کاهش یافته است و این مقدار کاهش در ژنوتیپ Cooper بیشتر می‌باشد. در مجموع تنش خشکی باعث کاهش غلظت کلروفیل کل در ژنوتیپ Cooper شده است. کاهش غلظت کاروتونوئید در ژنوتیپ Cooper در شرایط تنش در مرحله ساقه‌رفتن معنی‌دار است ولی این کاهش در ژنوتیپ SLM046 معنی‌دار نمی‌باشد (جدول ۲). گزارش شده است که کاهش سرعت فتوسترن در طول دوره تنش خشکی ممکن است صرف نظر از تاثیر عوامل روزنه‌ای به علت کاهش فعالیت رویسکو (۲۷)، جلوگیری از واکنش‌های فتوشیمیایی (۴۴) و کاهش محتوای کلروفیل برگ (۳۷) باشد.

نتایج مقایسه میانگین غلظت کلروفیل a، b و کل و کاروتونوئید در شرایط تنش در مرحله گل‌دهی (جدول ۳) نشان می‌دهد که غلظت این متابولیتها در هر دو ژنوتیپ در شرایط تنش نسبت به شرایط بدون تنش، کاهش یافته است. کاهش غلظت کلروفیل در تنش خشکی می‌تواند یک عامل محدود کننده غیرروزنگاری به حساب آید. تنش خشکی موجب کاهش میزان کلروفیل برگ‌ها می‌شود. یانگ و همکاران (۴۶) نشان دادند که تنش رطوبتی باعث افزایش غلظت آبسزیک اسید در برگ‌ها، ساقه‌ها و ریشه‌ها می‌شود. در واقع آبسزیک اسید، سرعت فتوسترن، مقدار کلروفیل و پروتئین محلول برگ‌ها را کاهش می‌دهد. مطالعات نشان می‌دهد که تنش رطوبتی از طریق برهمنزدن واکنش‌های بیوشیمیایی مسیر فتوسترنی، موجب کاهش سرعت فتوسترن می‌شوند (۲۹، ۲۲).

نتایج نشان داد که میزان پروتئین محلول کل در شرایط بدون تنش و تنش در مرحله ساقه‌رفتن در ژنوتیپ Cooper کمتر از ژنوتیپ SLM046 می‌باشد (جدول ۳). همچنین نتایج تحقیق نشان می‌دهد تیمار پروتئین محلول کل در شرایط تنش نسبت به شرایط بدون تنش کاهش معنی‌داری داشت. به نظر یانگ و همکاران (۴۵) از علل کاهش پروتئین محلول برگ‌ها در شرایط تنش آبی، افزایش غلظت آبسزیک اسید می‌باشد که باعث کاهش میزان پروتئین محلول می‌شود. در شرایط تنش گل‌دهی میزان پروتئین محلول کل کاهش یافته است اما این کاهش معنی‌دار نمی‌باشد (جدول ۳).

کاتالاز یکی از مهم‌ترین آنژیم‌های آنتی‌اسیدان است که نقش مهمی در سمیت‌زدایی H_2O_2 بازی می‌کند (۳۷). نتایج نشان می‌دهد که افزایش میزان فعالیت آنژیم کاتالاز در دو شرایط تنش در ژنوتیپ Cooper بیشتر است (جدول ۲ و ۳).

(Cooper ۷۴۸۹/۹) ماکرومول بر گرم ماده تازه) بیشتر از ژنوتیپ SLM046 (۵۴۰۰/۳) ماکرومول بر گرم ماده تازه) می‌باشد (جدول ۴). افزایش مقدار اسیدهای آمینه در شرایط تنفس خشکی ممکن است به علت کاهش سنتر پروتئین‌ها و تحریک بیوسنتر اسیدهای آمینه و پروتولیز پروتئین‌ها باشد (۲۵۶). بنابراین کاهش محتوای اسیدهای آمینه در ژنوتیپ SLM046 در شرایط آبیاری مجدد ممکن است به سبب افزایش سنتر پروتئین‌ها و کاهش بیوسنتر اسیدهای آمینه به علت بر طرف شدن تنفس باشد. نتایج نشان می‌دهد که مجموع محتوای اسیدهای آمینه در ژنوتیپ SLM046 در شرایط تنفس افزایش یافته و سپس با بر طرف شدن تنفس، محتوای کلی اسیدهای آمینه کاهش یافته است و از طرفی محتوای اسیدهای آمینه در ژنوتیپ Cooper در شرایط تنفس کاهش یافته و تغییر معنی داری در زمان بر طرف شدن تنفس نیز در محتوای اسیدهای آمینه ژنوتیپ Cooper مشاهده نمی‌شود (جدول ۴). احتمالاً نتایج نشان دهنده کارآمدتر بودن مکانیسم‌های متabolیکی ژنوتیپ SIM046 نسبت به Cooper در سنتر مجدد پروتئین‌ها بعد از برطرف شدن تنفس می‌باشد.

در شرایط تنفس در مرحله ساقه‌رفتن، غلظت اسیدهای آمینه آسپارتیک اسید، آسپارتازین، گلوتامین، گلایسین، ترئونین، لیزین، سیستین، پرولین و تریپتوфан بطور معنی داری در ژنوتیپ SLM046 بیشتر از ژنوتیپ Cooper بود. ولی بین غلظت سایر اسیدهای آمینه در ژنوتیپ SLM046 و Cooper تفاوت معنی داری مشاهده نشد. بنابراین نتایج نشان می‌دهد برخلاف شرایط بدون تنفس، در شرایط تنفس در مرحله ساقه‌رفتن، افزایش غلظت هیچ کدام از اسیدهای آمینه در ژنوتیپ Cooper اختلاف معنی داری با ژنوتیپ SLM046 نداشت. همچنین در شرایط تنفس ساقه‌رفتن، برخلاف شرایط بدون تنفس، محتوای کلی اسیدهای آمینه ضروری و غیرضروری ژنوتیپ SLM046 بیشتر از ژنوتیپ Cooper بود و در کل، مجموع اسیدهای آمینه ژنوتیپ SLM046 (۹۶۷۲/۸) ماکرومول بر گرم ماده تازه) بیشتر از ژنوتیپ SLM046 (۷۷۰۷/۵) Cooper ماکرومول بر گرم ماده تازه) می‌باشد و این مطلب نشان می‌دهد که احتمالاً، ژنوتیپ SLM046 از مکانیسم‌های کاراتری در مواجه شدن با خشکی برخوردار است.

در شرایط آبیاری مجدد غلظت اسیدهای آمینه آسپارتیک اسید، آسپارتازین، سرین، گلوتامین، هیستیدین، لیزین، سیستین، تریپتوфан و ایزولوسین بطور معنی داری در ژنوتیپ Cooper بیشتر از ژنوتیپ SLM046 می‌باشد. این اتفاق در شرایط تنفس خشکی در گیاهان زراعی مختلف نشان داده‌اند که تحت تأثیر تنفس رطوبتی محتوای کل اسیدهای آمینه به طور معنی داری افزایش می‌باید (۱۷، ۲۶، ۳۵، ۱۷، ۴۰، ۳۶). افزایش در محتوای اسیدهای آمینه آسپارتازین و گلوتامین در برگ گندم (۱۸) و آسپارتیک اسید در برگ جو (۴۳) در شرایط تنفس گزارش شده است. احمد و همکاران (۲) بیان نمودند که در شرایط تنفس خشکی در جو، محتوای تمام اسیدهای آمینه (بجزء متیونین) در شرایط تنفس خشکی نسبت به شرایط بدون تنفس افزایش معنی داری از خود نشان می‌دهند و این افزایش در ارقام متحمل بیشتر می‌باشد. گود و زاپلاچینسکی (۲۱)، بیان کردند که غلظت اسیدهای آمینه ایزولوسین، لوسین، آسپارتیک اسید در شرایط تنفس خشکی ۵ برابر افزایش یافته و این افزایش در سایر اسیدهای آمینه کمتر بود.

اسیدهای آمینه در برگ گندم می‌باشد. بروند تغییرات غلظت هر یک از اسیدهای آمینه به تنهایی نشان داد که بین ژنوتیپ‌های SLM046 و Cooper از نظر تغییر در غلظت اسیدهای آمینه تفاوت‌های معنی داری وجود دارد (جدول ۴). غلظت اسیدهای آمینه گلوتامیک اسید در شرایط بدون تنفس در ژنوتیپ SLM046 به طور معنی داری بیشتر از Cooper بود و غلظت اسیدهای آمینه هیستیدین، سیستین، لیزین و تریپتوfan به طور معنی داری در ژنوتیپ Cooper بیشتر از ژنوتیپ SLM046 دیده شد. در کل در شرایط بدون تنفس مجموع اسیدهای آمینه ضروری و غیرضروری ژنوتیپ Cooper بیشتر از ژنوتیپ SLM046 بود و همچنین سهم اسیدهای آمینه غیرضروری در محتوای کلی اسیدهای آمینه بیشتر از اسیدهای آمینه ضروری بود. از طرفی در شرایط بدون تنفس، محتوای کلی اسیدهای آمینه ژنوتیپ Cooper (۸۶۸۹/۲) ۷۸۹۹/۳ (SLM046) بیشتر از ژنوتیپ ۷۸۹۹/۳ (SLM046) ماکرومول بر گرم ماده تازه) می‌باشد.

در شرایط تنفس در مرحله ساقه‌رفتن، غلظت اسیدهای آمینه آسپارتیک اسید، آسپارتازین، گلوتامین، ترئونین، لیزین، سیستین، پرولین و تریپتوfan بطور معنی داری در ژنوتیپ SLM046 بیشتر از ژنوتیپ Cooper بود. ولی بین غلظت سایر اسیدهای آمینه در ژنوتیپ SLM046 و Cooper تفاوت معنی داری مشاهده نشد. بنابراین نتایج نشان می‌دهد برخلاف شرایط بدون تنفس، در شرایط تنفس در مرحله ساقه‌رفتن، افزایش غلظت هیچ کدام از اسیدهای آمینه در ژنوتیپ Cooper اختلاف معنی داری با ژنوتیپ SLM046 نداشت. همچنین در شرایط تنفس ساقه‌رفتن، برخلاف شرایط بدون تنفس، محتوای کلی اسیدهای آمینه ضروری و غیرضروری ژنوتیپ SLM046 بیشتر از ژنوتیپ Cooper بود و در کل، مجموع اسیدهای آمینه ژنوتیپ SLM046 (۹۶۷۲/۸) ماکرومول بر گرم ماده تازه) بیشتر از ژنوتیپ SLM046 (۷۷۰۷/۵) Cooper ماکرومول بر گرم ماده تازه) می‌باشد و این مطلب نشان می‌دهد که احتمالاً، ژنوتیپ SLM046 از مکانیسم‌های کاراتری در مواجه شدن با خشکی برخوردار است.

در شرایط آبیاری مجدد غلظت اسیدهای آمینه آسپارتیک اسید، آسپارتازین، سرین، گلوتامین، هیستیدین، لیزین، سیستین، تریپتوfan و ایزولوسین بطور معنی داری در ژنوتیپ Cooper بیشتر از ژنوتیپ SLM046 می‌باشد.

همچنین افزایش اسیدهای آمینه در ژنوتیپ SLM046 نسبت به ژنوتیپ Cooper معنی دار نمی‌باشد و از طرفی در شرایط آبیاری مجدد محتوای کلی اسیدهای آمینه در ژنوتیپ Cooper (۷۴۸۹/۹) ماکرومول بر گرم ماده تازه) بیشتر از ژنوتیپ SLM046 (۵۴۰۰/۳) ماکرومول بر گرم ماده تازه) می‌باشد (جدول ۴).

همچنین افزایش اسیدهای آمینه در ژنوتیپ SLM046 نسبت به ژنوتیپ Cooper معنی دار نمی‌باشد و از طرفی در شرایط آبیاری مجدد محتوای کلی اسیدهای آمینه در ژنوتیپ

جدول ۱- مقایسه میانگین اثر متقابل ژنوتیپ × تنش خشکی و اثر تنش خشکی بر شاخص تغییرات کلروفیل، هدایت روزنایی و عملکرد در شرایط تنش ساقه‌رفتن و تنش گل دهی

Table 1. Mean comparison of genotype × drought stress interaction and drought stress effect on chlorophyll changes index, stomata conductance and seed yield under drought at stem elongation and flowering stages

تش در مرحله گل دهی				تش در مرحله ساقه‌رفتن			
عملکرد (کیلوگرم بر هکتار)	هدایت روزنایی ($\mu\text{mol CO}_2 \text{m}^{-2}\text{s}^{-1}$)	شاخص تغییرات کلروفیل	عملکرد (کیلوگرم بر هکتار)	هدایت روزنایی ($\mu\text{mol CO}_2 \text{m}^{-2}\text{s}^{-1}$)	شاخص تغییرات کلروفیل	نام ژنوتیپ	
تش	شاهد	تش	شاهد	تش	شاهد	SLM046	
۱۱۷۶/۰ ^b	۱۷۲۹/۳ ^a	۹۷/۷ ^b	۲۳۳ ^a	۵۴/۹. ^a	۴۵/۱۲ ^b	۳۸/۷۷ ^b	
۹۸/۰ ^b	۱۶۵۷/۰ ^a	۱۲۱ ^b	۲۲۱ ^a	۵۵/۶۲ ^a	۳۹/۹۷ ^b	۴۷/۸۰ ^a	
۱۰۷۹/۰ ^b	۱۶۹۳/۳ ^a	۱۰۹ ^b	۲۲۲ ^a	۵۵/۳ ^a	۴۲/۶ ^b	۴۵/۵۰ ^a	
میانگین				۸۸/۰. ^b	۱۶۹۳/۳ ^a	۱۰۷/۷ ^b	
در هر ردیف میانگین‌هایی که دارای حروف مشترک هستند، براساس آزمون دانکن تفاوت معنی‌داری با هم ندارند.				۲۷۰/۵ ^a	۴۹/۸ ^a	۴۲/۱ ^b	

جدول ۲- مقایسه میانگین اثر ژنوتیپ × تنش خشکی و اثر تنش خشکی بر غلظت کلروفیل a, b و کل، کاروتوئید، پروتئین محلول کل، فعالیت کاتالاز، پراکسیداز و آسکوربیات پراکسیداز. تنش خشکی در مرحله ساقه‌رفتن اعمال شده است

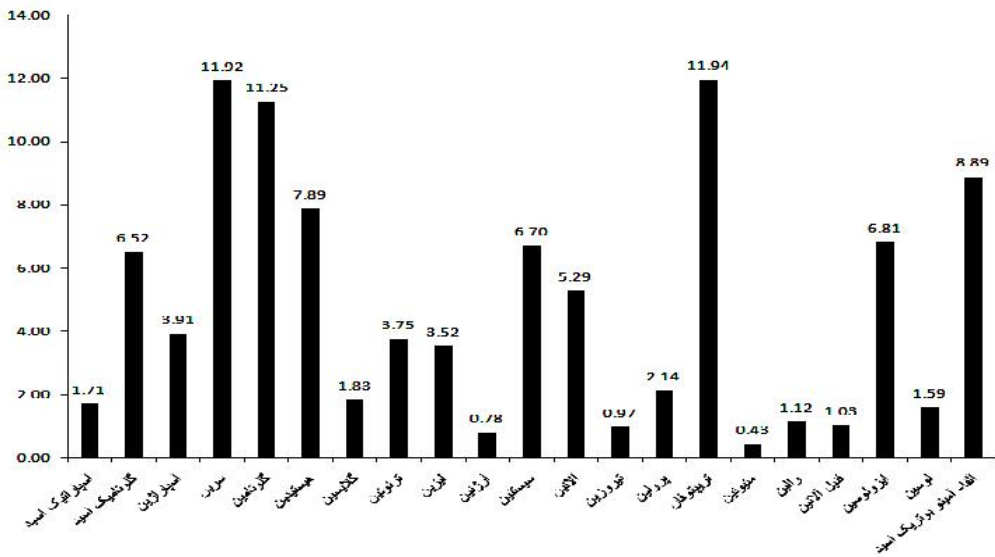
Table 2. Mean comparison of genotype × drought stress interaction and drought stress effect on chlorophyll a and b concentration, soluble protein and antioxidant enzyme activity (catalase, peroxidase and ascorbate peroxidase). Drought stress is applied at stem elongation stage

آسکوربیات پراکسیداز (unit mg^{-1} protein)	پراکسیداز unit mg^{-1} (protein)	کاتالاز unit mg^{-1} (protein)	پروتئین کل (میلی گرم بر گرم وزن تازه)	کاروتوئید (میلی گرم بر گرم وزن تازه)	کلروفیل کل (میلی گرم بر گرم وزن تازه)	کلروفیل a (میلی گرم بر گرم وزن تازه)	کلروفیل b (میلی گرم بر گرم وزن تازه)	نام ژنوتیپ
۰/۲۱۸ ^a	۰/۰۷۱ ^b	۰/۶۳۹ ^a	۰/۱۹۰ ^b	۰/۱۱۳ ^a	۰/۱۰۹ ^a	۱۸/۳۴ ^b	۳۰/۰۳ ^a	۰/۸۰ ^a
۰/۲۹۳ ^a	۰/۰۶۷ ^b	۰/۷۵۶ ^a	۰/۲۵۵ ^b	۰/۱۲۷ ^a	۰/۰۹۹ ^b	۱۲/۸۶ ^b	۲۴/۰۳ ^a	۰/۶۷۱ ^b
۰/۶۹۷ ^a	۰/۲۳۳ ^b	۰/۲۵۵ ^a	۰/۰۶۹ ^b	۰/۱۲۰ ^a	۰/۱۰۴ ^a	۱۵/۶ ^b	۲۷/۰۳ ^a	۰/۰۷۹ ^a
میانگین				۰/۷۳۶ ^b	۰/۰۶۹ ^b	۰/۰۳۶ ^b	۰/۰۸۹ ^a	۰/۰۲۰ ^b
در هر ردیف میانگین‌هایی که دارای حروف مشترک هستند، براساس آزمون دانکن تفاوت معنی‌داری با هم ندارند.				۰/۰۵۶ ^b	۰/۰۲۱ ^a	۰/۰۱۸ ^a	۰/۰۳۹ ^a	۰/۰۳۹ ^a

جدول ۳- مقایسه میانگین اثر متقابل ژنوتیپ × تنش خشکی و اثر تنش خشکی بر غلظت کلروفیل a, b و کل، کاروتوئید، پروتئین محلول کل، فعالیت کاتالاز، پراکسیداز و آسکوربیات پراکسیداز. تنش خشکی در مرحله گل دهی اعمال شده است.

Table 3. Mean comparison of genotype × drought stress interaction and drought stress effect on chlorophyll a and b concentration, soluble protein and antioxidant enzyme activity (catalase, peroxidase and ascorbate peroxidase). Drought stress is applied at flowering stage

آسکوربیات پراکسیداز (unit mg^{-1} protein)	پراکسیداز unit mg^{-1} (protein)	کاتالاز unit mg^{-1} (protein)	پروتئین کل (میلی گرم بر گرم وزن تازه)	کاروتوئید (میلی گرم بر گرم وزن تازه)	کلروفیل کل (میلی گرم بر گرم وزن تازه)	کلروفیل a (میلی گرم بر گرم وزن تازه)	کلروفیل b (میلی گرم بر گرم وزن تازه)	نام ژنوتیپ
۰/۶۳ ^b	۰/۷۷۸ ^a	۰/۱۱۲ ^b	۰/۷۲۴ ^a	۰/۱۶۰ ^a	۰/۱۰۴ ^a	۲۱/۲۷ ^b	۲۲/۰۵ ^a	۰/۶۸۸ ^b
۰/۵۱۳ ^b	۰/۹۸۷ ^a	۰/۱۷۲ ^b	۰/۷۲۶ ^a	۰/۱۸۲ ^a	۰/۰۸۱ ^b	۱۹/۳۹ ^a	۲۲/۰۵ ^a	۰/۷۳۰ ^b
میانگین	۰/۵۶۳ ^b	۰/۸۸۲ ^a	۰/۱۴۳ ^b	۰/۲۵۰ ^a	۰/۱۷۱ ^a	۰/۰۹۴ ^b	۲۰/۳۶ ^a	۰/۷۱۰ ^b
در هر ردیف میانگین‌هایی که دارای حروف مشترک هستند، براساس آزمون دانکن تفاوت معنی‌داری با هم ندارند.				۰/۰۶۰ ^b	۰/۰۴۶ ^a	۰/۰۴۶ ^a	۰/۰۷۸ ^a	۰/۰۷۸ ^a



شکل ۱- سهم نسبی هر یک از اسیدهای آمینه در شکل گیری محتوای کل اسیدهای آمینه برگ ارقام کلزا در مرحله ساقه رفتن
Figure 1. Average of individual amino acids concentration in stem elongation stage of two canola cultivars.
Values are expressed as percentage of total leaf amino acids.

جدول ۴- مقایسه میانگین اثر مقابل ژنتیک × تنش خشکی در مرحله تنش ساقه رفتن بر غلظت اسیدهای آمینه مختلف در برگ ژنتیک های SLM046 و Cooper کلزا

Table 4. Mean comparison of genotype × drought stress interaction in stem elongation stage on different amino acids concentration of leaves of two canola genotypes (SLM046 and Cooper)

نوع اسید آمینه	بدون تنش				آماری مجدد
	(ماکرومول بر گرم ماده تازه)	تش ساقه رفتن	(ماکرومول بر گرم ماده تازه)	(ماکرومول بر گرم ماده تازه)	
Cooper	SLM046	Cooper	SLM046	Cooper	SLM046
آسپاراتیک اسید	۱۴۳/۷ ^b	۸۰/۷ ^c	۱۷۸/۴ ^{ab}	۲۱۶/۹ ^a	۸۷/۶ ^c
گلوتامیک اسید	۴۹۷/۱ ^{ab}	۵۱۳/۹ ^a	۵۵۱/۵ ^a	۵۲۲/۱ ^a	۳۹۹/۲ ^b
آسپاراژین	۲۷۳/۴ ^b	۱۹۴/۳ ^b	۲۵۶/۲ ^b	۶۳۹/۰ ^a	۲۴۲/۴ ^b
سرین	۸۲۸/۳ ^a	۴۸۰/۰ ^b	۱۰۳۳/۵ ^a	۱۰۷۴/۰ ^a	۱۰۵۵/۸ ^a
گلوتاامین	۸۰۳/۵ ^{bc}	۵۵۵/۰ ^d	۱۰۲۸/۷ ^b	۱۳۸۱/۲ ^a	۷۲۲/۲ ^{cd}
هیستیدین	۸۶۶/۸ ^a	۵۱۰/۱ ^b	۵۶۳/۱ ^b	۶۴۶/۵ ^b	۵۹۸/۴ ^b
گالاپسین	۱۴۱/۱ ^{ab}	۱۳۵/۴ ^b	۱۶۶/۲ ^a	۱۵۰/۱ ^{ab}	۱۲۳/۷ ^b
ترؤپین	۲۴۸/۰ ^b	۱۹۰/۰ ^b	۳۶۱/۲ ^a	۴۳۰/۴ ^a	۲۶۷/۰ ^b
لیزین	۶۰۷/۱ ^a	۸۵۹/۰ ^b	۱۰۰/۱ ^b	۷۱۸/۴ ^a	۶۳۰/۰ ^b
ارزنین	۸۰/۱ ^a	۵۲/۰ ^b	۵۱/۰ ^b	۶۱/۲ ^b	۵۷/۰ ^b
سیستین	۴۶۶/۴ ^{bc}	۳۶۰/۰ ^c	۳۸۳/۶ ^c	۵۸۲/۴ ^{ab}	۷۲۸/۸ ^a
آلانین	۲۴۳/۸ ^c	۲۶۲/۹ ^c	۴۲۷/۸ ^b	۴۲۱/۷ ^b	۷۸۲/۱ ^a
تیروزین	۶۸/۱ ^{ab}	۶/۰ ^b	۵۷/۰ ^a	۹۰/۰ ^a	۸۰/۰ ^{ab}
پروولین	۱۲۹/۹ ^b	۱۵۹/۰ ^b	۳۰/۱/۳ ^a	۲۷۷/۵ ^a	۷۳/۷ ^c
ترپتوفان	۸۷۷/۰ ^d	۶۱۵/۷ ⁱ	۸۰/۰/۶ ^e	۹۱۸/۰ ^c	۱۳۸۵/۰ ^a
متیونین	۲۱/۰ ^c	۲۷/۰ ^{bc}	۳۵/۰ ^{ab}	۴۲/۰ ^a	۳۴/۰ ^{ab}
والین	۵۵/۰ ^b	۷۹/۰ ^{ab}	۸۷/۰ ^{ab}	۹۸/۰ ^a	۱۰/۰/۴ ^a
فیل آلانین	۵۲/۰ ^c	۷۷/۰ ^b	۸۲/۰ ^b	۹۷/۰ ^a	۷۹/۰ ^b
ایزولوسین	۴۶۰/۰ ^{ab}	۴۰/۰/۴ ^b	۵۰/۰/۳ ^{ab}	۵۳۰/۰ ^{ab}	۶۴۱/۰ ^a
لوسین	۹۵/۰ ^c	۹/۰/۰ ^c	۱۱۰/۰ ^{bc}	۱۲۵/۰ ^{bc}	۱۵۰/۰ ^{ab}
آلفا- آمینو بوتیریک اسید	۵۲۸/۰ ^c	۴۶۸/۰ ^c	۶۱۷/۰ ^{bc}	۶۵۸/۰ ^{bc}	۱۰۰/۰/۰ ^a
مجموع اسیدهای آمینه ضروری	۳۳۶۶/۴	۲۱۲۹/۵	۲۶۹۷/۴	۳۶۶۳/۸	۳۳۸۵/۳
مجموع اسیدهای آمینه غیر ضروری	۳۵۹۵/۵	۲۸۰۲/۸	۴۳۹۳/۱	۵۳۵۵/۰	۴۴۹۵/۹
مجموع کل اسیدهای آمینه	۷۴۸۹/۹	۵۴۰۰/۳	۷۷۰۷/۵	۹۶۷۲/۸	۸۶۸۹/۲

*: اسیدهای آمینه ضروری
در هر ردیف میانگین هایی که دارای حروف مشترک هستند، براساس آزمون تفاوت معنی دار ندارند.

اسیدهای آمینه ژنوتیپ SLM046 (۶۴۵۸/۳) کمتر از ژنوتیپ Cooper (۷۰۴۸/۸) می‌باشد. در شرایط تنش در مرحله گل‌دهی، تنها غلظت اسیدهای آمینه آسپاراتیک اسید، ترئونین و لیزین در ژنوتیپ Cooper بیشتر از ژنوتیپ SLM046 به نظر آمد و غلظت اسیدهای آمینه گلوتامیک اسید، گلوتامین، هیستیدین، گلایسین، متیونین، فنیل‌الانین، ایزوولوسین و لوسین در ژنوتیپ SLM046 بیشتر از ژنوتیپ Cooper مشاهد شد. از طرفی در شرایط تنش گل‌دهی، محتوای کلی اسیدهای آمینه ژنوتیپ SLM046 (۹۱۰/۷) ماکرومول بر گرم ماده تازه) بیشتر از ژنوتیپ Cooper (۷۷۰/۵) ماکرومول بر گرم ماده تازه) بوده است (جدول ۶). این نتایج نشان می‌دهد که در شرایط تنش خشکی، بیوسترن اسیدهای آمینه ژنوتیپ SLM046 بیشتر از ژنوتیپ Cooper می‌باشد.

در شرایط تنش در مرحله گل‌دهی (جدول ۶)، محتوای اسیدهای آمینه آسپاراتیک اسید، گلوتامیک اسید، آسپاراژین، گلوتامین، گلایسین، ترئونین، پروولین، متیونین و ایزوولوسین افزایش معنی‌داری را نشان دادند. از طرفی، کاهش محتوای اسیدهای آمینه سرین، الانین و تریپتوفان در شرایط تنش گل‌دهی نسبت به شاهد معنی‌دار بود. در مجموع محتوای اسیدهای آمینه در شرایط تنش گل‌دهی (۸۴۲۶/۱) ماکرومول بر گرم ماده تازه) بیشتر از شرایط بدون تنش (۶۷۵۳/۶) ماکرومول بر گرم ماده تازه) می‌باشد (جدول ۶). بسیاری از محققان بر این باورند که محتوای اسیدهای آمینه در شرایط تنش نسبت به شاهد افزایش بیشتری دارند (۴۲، ۴۱، ۴۰، ۴۳، ۲۱، ۱۸).

در میان اسیدهای آمینه، هیچ اسیدآمینه‌ای به اندازه پروولین در گیاهان مختلف بررسی نشده است. پروولین جزء اسیدهای آمینه‌ای است که در مقادیر زیاد، در پاسخ به تنش‌های محیطی، تجمع می‌یابد. شکستن سریع پروولین بعد از پایان یافتن شرایط تنش، ممکن است خود تأمین‌کننده عوامل مورد نیاز فسفوریل‌اسپیون اکسیداتیو میتوکندریایی و تولید ATP برای ترمیم صدمات ناشی از تنش باشد (۷). میرزایی و همکاران (۳۳) بیان کردند که در شرایط تنش، مقدار پروولین در ارقام مختلف کلزا افزایش می‌یابد و این افزایش در رقم متحمل بیشتر از رقم حساس است. سینگ و همکاران (۴۳) و کتچام و همکاران (۲۶) نشان دادند که غلظت پروولین به طور غالب در سیتوزول در شرایط تنش خشکی افزایش پیدا می‌کند و نتیجه‌گیری کردند که پروولین عامل مهمی در تنظیم اسمزی می‌باشد.

گزارشات دلانی و ورما (۱۶) نشان داد که در تنش خشکی غلظت پروولین ممکن است بین ۳ تا ۳۰۰ برابر افزایش یابد.

در مجموع محتوای اسیدهای آمینه در شرایط تنش در مرحله ساقفرنن و گل‌دهی نسبت به شرایط بدون تنش افزایش معنی‌داری را نشان دادند. همچنین نتایج نشان می‌دهد که در برگ کلزا، محتوای اسیدهای آمینه سرین، گلوتامین، تریپتوفان، هیستیدین و آلفا-آمینو بوتیریک اسید بیشتر از سایر اسیدهای آمینه است. از طرفی، کمترین محتوای اسیدآمینه در برگ ارقام کلزا مربوط به متیونین، تیروزین و آرژین می‌باشد. در

اسیدآمینه آلفا-آمینو بوتیریک اسید نقش کلیدی در تنظیم pH درون سلولی دارد. اسیدهای ضعیف که در شرایط تنش رطوبتی موجب کاهش pH درون سلولی می‌گردند، سبب تحریک تجمع آلفا-آمینو بوتیریک اسید در این گونه سلول‌ها می‌شود و تجمع این اسیدآمینه در این شرایط محدود شدن محیط سلول می‌شود (۱۳). احتمالاً در این تحقیق، فقدان افزایش معنی‌دار محتوای آلفا-آمینو بوتیریک اسید در شرایط تنش نسبت به شاهد نشان می‌دهد که احتمالاً این سطح تنش موجب تغییر pH شیره سلولی نشده و در نتیجه، محتوای این اسیدآمینه تغییر معنی‌داری نداشته است. غلظت اسیدآمینه آرژین، تفاوت معنی‌داری را در شرایط تنش و بدون تنش نشان نداد (جدول ۵). روز و همکاران (۳۸) و سعید پور و همکاران (۳۹) بیان کردند که آلفا-آمینو بوتیریک اسید نقش مهمی در مکانیسم‌های تحمل گیاهان به تنش‌ها ایفاء می‌کند.

در شرایط تنش رطوبتی فعالیت آنزیم آرژین دکربوکسیلاز تحریک می‌گردد. این آنزیم شروع واکنش تبدیل اسیدآمینه آرژین به پوترسین - که ترکیبی از دسته پلی‌آمین‌هاست - را موجب می‌شود (۱۹). پلی‌آمین‌ها در تنظیم pH درون سلول، تنظیم تقسیم سلولی و به تعویق انداختن پیری در گیاه نقش ایفاء می‌کنند. در این تحقیق احتمالاً pH درون سلولی تغییر چندانی نداشته است که موجب افزایش در محتوای اسیدآمینه آرژین در شرایط تنش رطوبتی شده باشد.

با توجه به نقش‌های مهم اسیدهای آمینه در شرایط تنش خشکی و بدون تنش در تنظیم فعالیت‌های درونی گیاه، روند تغییرات اسیدهای آمینه مختلف در برگ توسعه یافته انتهایی کلزا، در دو ژنوتیپ SLM046 و Cooper و شاهد نشان داد که اسیدهای آمینه گلوتامین (۱۲/۹٪)، ایزوولوسین نسبی هر یک از اسیدهای آمینه در محتوای کلی آن‌ها (شکل ۲) در برگ انتهایی ارقام کلزا در شرایط تنش در مرحله گل‌دهی نشان داد که اسیدهای آمینه گلوتامین (۱۱/۲۶٪)، ایزوولوسین (۱۱/۸۳٪)، سرین (۱۱/۲۶٪) و هیستیدین (۱۰/۵۷٪)، آلفا-آمینو بوتیریک اسید (۷/۶۴٪) و گلوتامیک اسید (۹/۹۰٪)، (۶/۶۸٪) به ترتیب بیشترین سهم نسبی را در محتوای کلی اسیدهای آمینه داشتند. سهم نسبی این اسیدهای آمینه حدود ۶۰ درصد از کل اسیدهای آمینه می‌باشد. از طرفی، اسیدهای آمینه متیونین، آرژین، تیروزین، والین، فنیل‌الانین و لوسین کمترین سهم را در محتوای کلی اسیدهای آمینه ژنوتیپ‌های کلزا در مرحله گل‌دهی داشتند (شکل ۲). همچنین سهم نسبی اسیدهای آمینه غیرضروری در محتوای کلی اسیدهای آمینه، بیشتر از اسیدهای آمینه ضروری می‌باشد (جدول ۶).

غلظت اسیدهای آمینه گلوتامیک اسید، آسپاراژین، گلوتامین، هیستیدین، لیزین، الانین و تریپتوفان در شرایط بدون تنش در ژنوتیپ Cooper بیشتر از SLM046 بود و غلظت اسیدهای آمینه آسپاراتیک اسید، گلایسین، والین، فنیل‌الانین و ایزوولوسین در ژنوتیپ SLM046 بیشتر از ژنوتیپ Cooper دیده شد (جدول ۶). در شرایط بدون تنش محتوای کلی

گلوتامین، گلایسین، ترئونین، لیزین و پرولین از جمله اسیدهای آمینه‌ای می‌باشدند که در شدت‌های پایین تنش در مرحله ساقه‌رفتن گیاه، مقدار آن‌ها افزایش می‌یابد. همچنین در مرحله گل‌دهی غلظت اسیدهای آمینه بیشتری افزایش نشان دادند. شاید به دلیل حساس بودن مرحله گل‌دهی در کلزا، گیاه در این مرحله از سازکارهای موثرتری برای مقابله با خشکی استفاده می‌کند که یکی از آن‌ها افزایش غلظت اسیدهای آمینه می‌باشد. ولی از طرفی، محتوای کلی اسیدهای آمینه در مرحله ساقه‌رفتن بیشتر از مرحله گل‌دهی بود و احتمالاً به این دلیل می‌باشد که در زمان گل‌دهی، قسمتی از اسیدهای آمینه برگ انتهایی کلزا صرف گل‌دهی می‌شود.

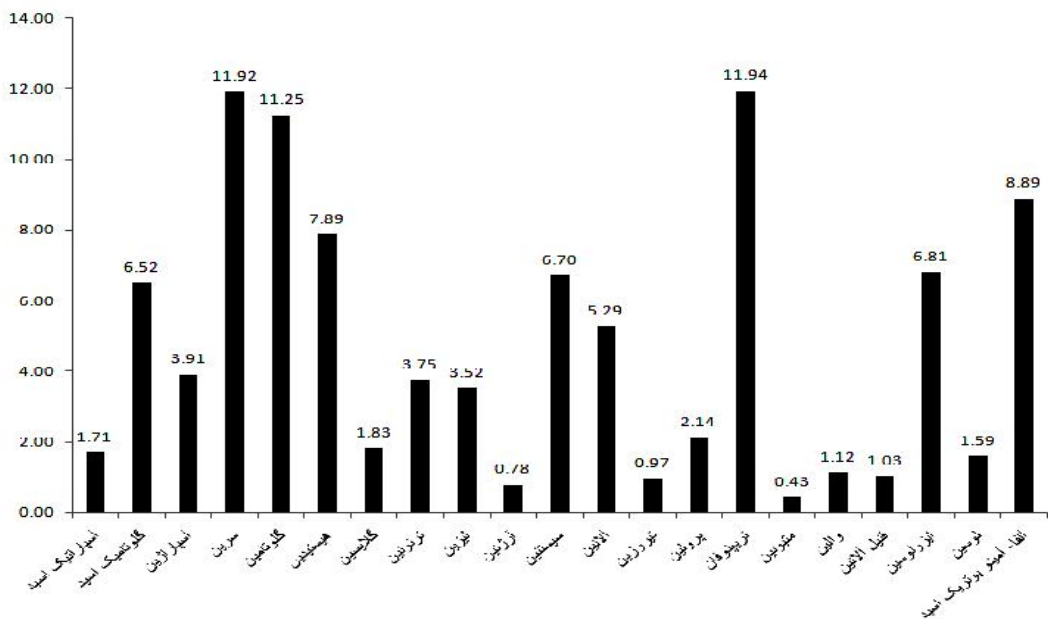
این تحقیق تنش اعمال شده تنش ملایم می‌باشد و نتایج فعالیت‌های آنزیمی و تغییرات کلروفیل این مطلب را تأیید می‌کنند. بنابراین هر چند در بسیاری از تحقیقات، محتوای بیشتر اسیدهای آمینه، افزایش معنی‌داری را نشان داده‌اند (۱۸، ۲۱، ۴۱، ۴۲، ۴۳) ولی در این تحقیق بعضی از اسیدهای آمینه در شرایط تنش کاهش یافته‌اند یا تغییرات آن‌ها معنی‌دار نمی‌باشد. شاید یکی از علل آن این باشد که در شدت‌های پایین تنش، همه اسیدهای آمینه افزایش نمی‌یابند و برای افزایش غلظت آن‌ها نیاز به شدت‌های بالای تنش است. بنابراین یافته‌ها نشان می‌دهد که اسیدهای آمینه آسپاراتیک اسید، آسپارازین،

جدول ۵- مقایسه میانگین غلظت اسیدهای آمینه مختلف در شرایط غیرتش، تنش ساقه‌رفتن و آبیاری مجدد در برگ ژنتیک‌های SLM046 و Cooper کلزا

Table 5. Mean comparison of different amino acids concentration at non-stress, elongation stress and re-irrigation conditions of leaves of two caola genotypes (SLM046 and Cooper)

نوع اسید/آمینه (ماکرونول بر گرم ماده نازه)	بدون تنش	تش ساقه‌رفتن	آبیاری مجدد
آسپاراتیک اسید	۹۰/۵ ^b	۱۹۷/۶ ^a	۱۱۲/۲ ^b
گلوتامیک اسید	۴۸۴/۷ ^a	۵۳۶/۸ ^a	۵۰/۵/۵ ^a
آسپارازین	۲۳۴/۵ ^b	۴۴۷/۵ ^a	۲۳۳/۸ ^b
سرین	۱۰۸۷/۰ ^a	۱۰۵۳/۳ ^a	۶۵۴/۲ ^b
گلوتامین	۷۵۰/۹ ^b	۱۲۰۵/۰ ^a	۶۷۹/۴ ^a
هیستیدین [*]	۵۵۴/۴ ^a	۶۰۴/۸ ^a	۶۸۸/۴ ^a
گلایسین	۱۲۲/۹ ^b	۱۵۸/۱ ^a	۱۳۸/۲ ^b
ترئونین [*]	۲۶۴/۱ ^b	۳۹۵/۸ ^a	۲۱۹/۴ ^c
لیزین [*]	۷۳/۰ ^c	۴۰۶/۳ ^a	۳۴۶/۵ ^b
آرژینین [*]	۶۰/۸ ^a	۵۶/۳ ^a	۶۶/۵ ^a
سیستین	۶۷۳/۹ ^a	۴۸۲/۰ ^b	۴۱۳/۲ ^c
آلانین	۵۶۱/۳ ^a	۴۲۴/۷ ^b	۲۵۳/۳ ^c
تیروزین	۸۳/۳ ^a	۷۸/۵ ^a	۶۴/۶ ^a
پرولین	۶۷/۹ ^c	۲۸۹/۴ ^a	۱۴۴/۸ ^b
ترپیتوفان [*]	۱۱۸۷/۰ ^a	۸۶۲/۴ ^b	۷۶/۳ ^b
متیونین [*]	۳۷/۱ ^a	۳۹/۲ ^a	۲۴/۷ ^a
والین [*]	۱۰۵/۰ ^a	۹۱/۰ ^a	۶۷/۵ ^b
فیل آلانین [*]	۸۹/۳ ^a	۹۰/۴ ^a	۶۲/۵ ^b
ایزوولوسین [*]	۶۴۶/۲ ^a	۵۱۵/۸ ^b	۴۲۲/۷ ^c
لوسین [*]	۱۶۲/۶ ^a	۱۱۷/۶ ^b	۹۳/۴ ^b
alfa-آمینو بوتیریک اسید	۹۴۹/۰ ^a	۶۳۵/۵ ^b	۴۹۸/۰ ^c
مجموع اسیدهای آمینه ضروری	۶۳۵۸/۹	۶۳۶۱/۲	۵۴۹۵/۹
مجموع اسیدهای آمینه غیرضروری	۸۳۳۱/۵	۹۷۴۸/۱	۶۳۹۸/۳
مجموع کل اسیدهای آمینه	۱۶۵۸۸/۴	۱۷۳۸۰/۳	۱۲۸۹۰/۲

^{*}: اسیدهای آمینه ضروری در هر ستون



شکل ۲- سهم نسبی هر یک اسیدهای آمینه در شکل گیری محتوای کل اسیدهای آمینه ارقام کلزا در مرحله گل دهی

Figure 2. Average of individual amino acids concentration in flowering stage of two canola cultivars. Values are expressed as percentage of total leaf amino acids

جدول ۶- مقایسه میانگین اثر متقابل ژنتیک × تنش خشکی در مرحله تنش گل دهی بر غلظت اسیدهای آمینه مختلف در برگ ژنتیکی های Cooper و SLM046 کلزا

Table 6. Mean comparison of genotype × drought stress interaction in flowering stage on different amino acids concentration of leaves of two canola cultivars (SLM046 and Cooper)

نوع اسیدهای آمینه	بدون تنش			
	بدون تنش گل دهی	بدون تنش (ماکرومول بر گرم ماده تازه)	بدون تنش (ماکرومول بر گرم ماده تازه)	بدون تنش (ماکرومول بر گرم ماده تازه)
آسپاراتیک اسید	۲۲۰/۷ ^a	۱۳۴/۵ ^b	۲۴۹/۱ ^a	۱۹۲/۴ ^{ab}
گلوتامیک اسید	۵۵۵/۴ ^a	۳۸۴/۶ ^b	۴۶۶/۸ ^{ab}	۶۴۴/۸ ^a
آسپاراژین	۳۷۷/۴ ^a	۲۱۶/۳ ^b	۳۹۷/۱ ^a	۳۶۱/۶ ^{ab}
سرین	۶۸۱/۱ ^b	۸۰۶/۰ ^a	۶۹۱/۰ ^a	۶۷۸/۱ ^a
گلوتامین	۱۲۴۵/۱ ^a	۵۶۹/۹ ^b	۱۷۷/۹ ^b	۱۴۱۷/۸ ^a
هیستیدین*	۷۱۹/۸ ^a	۵۷۸/۷ ^b	۶۸۳/۴ ^{ab}	۷۵۶/۳ ^a
گالاپین	۳۳۳/۹ ^a	۱۵۵/۰ ^b	۲۶۵/۰ ^b	۴۰۲/۳ ^a
ترنوتین*	۳۱۷/۲ ^a	۲۴۰/۵ ^b	۳۵۵/۱ ^a	۲۹۹/۳ ^{ab}
لیزین*	۳۸۴/۰ ^a	۴۳۴/۶ ^a	۴۷۰/۰ ^{ab}	۲۹۷/۶ ^{bc}
آرژین*	۶۸/۵ ^a	۶۲/۹ ^a	۶۵/۱ ^a	۷۷/۰ ^a
سیستین*	۳۵۳/۴ ^a	۳۵۷/۳ ^a	۳۲۲/۱ ^a	۳۸۳/۷ ^a
آلین	۱۳۶/۷ ^b	۳۶۷/۸ ^a	۱۳۳/۰ ^b	۱۷۷/۵ ^b
تیروزین	۷۲/۳ ^a	۶۷/۲ ^a	۵۷/۱ ^c	۸۹/۴ ^b
پرولین	۵۸۴/۲ ^a	۱۰/۵ ^b	۵۹۴/۰ ^a	۵۷۴/۴ ^a
ترپنوفان*	۴۷۷/۱ ^b	۹۱/۵ ^a	۴۸۴/۰ ^b	۴۶۹/۱ ^b
متیونین*	۳۰/۰ ^a	۱۸/۸ ^b	۲۵/۲ ^b	۴۶/۳ ^a
واین*	۷۴/۳ ^a	۸۲/۱ ^a	۶۵/۶ ^b	۸۲/۱ ^{ab}
فیل الائین*	۸۹/۱ ^a	۷۷/۱ ^b	۷۰/۰ ^b	۱۰/۹/۳ ^a
ایزوولوسین*	۱۰۲۵/۵ ^a	۵۶۸/۷ ^b	۶۷۰/۰ ^{bc}	۱۳۸/۰ ^a
لوسین*	۱۱/۰ ^a	۹۱/۲ ^a	۹۷/۳ ^{ab}	۱۱۷/۱ ^a
الفنا-آمینو بوتیریک اسید	۵۶۳/۰ ^b	۵۱۲/۰ ^a	۴۹۹/۰ ^a	۶۲۶/۰ ^a
مجموع اسیدهای آمینه ضروری	۳۳۰/۲/۴	۳۰/۲۱/۲	۲۹۶۳/۷	۳۶۴۱/۰
مجموع اسیدهای آمینه غیرضروری	۴۵۶/۰/۷	۳۱۷۰/۴	۴۲۴۷/۸	۴۸۷۳/۷
مجموع اسیدهای آمینه	۸۴۴۶/۱	۵۷۵۷/۴	۷۷۱۰/۵	۹۱۴۰/۷

*: اسیدهای آمینه ضروری. در هر ستون میانگین هایی که دارای حروف مشترک هستند، براساس آزمون تفاوت معنی دار ندارند.

تنش می‌تواند به بهبود عملکرد گیاه کمک کند.

تشکر و قدردانی

از جناب آقای دکتر سید علی طباطبائی، استادیار مرکز تحقیقات کشاورزی و منابع طبیعی استان بزد و سرکار خانم مهندس اکرم غفاری مسئول آزمایشگاه بخش فیزیولوژی، پژوهشکده بیوتکنولوژی کشاورزی ایران، صمیمانه کمال تشکر را داریم.

نتایج تجمع معنی‌دار اسیدهای آمینه آسپاراتیک اسید، آسپاراژین، گلوتامین، لیزین، سیستئین، تریپتوفان و فیلآلانین تحت شرایط تنش در مرحله ساقفرن و تجمع اسیدهای آمینه گلوتامین، گلایسین، تیروزین، متیونین، فنیلآلانین و ایزولوسین تحت تنش در مرحله گل‌دهی در ژنوتیپ متحمل SLM046 را نشان داد. در حالی که هیچ تجمع معنی‌داری از اسیدهای آمینه در ژنوتیپ حساس Cooper تحت شرایط تنش خشکی مشاهده نشد. بنابراین مشاهده می‌شود تجمع اسیدهای آمینه در شرایط

منابع

1. Aebi, H.E. 1983. Catalase. In: Methods of enzymatic analysis. 3rd ed. Vol.3 eds. By Bergmeyer H.U., Bergmeyer J., Grabi M. 273-282, VCH Verlagsgesellschaft mbH, Germany.
2. Ahmed, I.M., F. Cao, Y. Han, U.A. Nadira, G. Zhang and F. Wu. 2013. Differential changes in grain ultra structure, amylase, protein and amino acid profiles between Tibetan wild and cultivated barleys under drought and salinity alone and combined stress. *Food Chemistry*, 141: 2743-2750.
3. Anjum, S.A., M. Farooq, X. Xie, X. Liu and M.F. Ijaz. 2012. Antioxidant defense system and proline accumulation enables hot pepper to perform better under drought. *Scientia Horticulturae*, 140: 66-73.
4. Arnon, D.I. 1949. Copper enzymes in isolated chloroplasts. Polyphenoloxidase in *Beta vulgaris*. *Plant Physiology*, 24: 1-15.
5. Asada, K. 1999. The water–water cycle in chloroplasts: scavenging of active oxygen and dissipation of excess photons. *Annu. Rev. Plant Physiol. Plant Molecular Biology*, 50: 601-639.
6. Barnett, N.M., and A.W. Naylor. 1966. Amino acid and protein metabolism in Bermuda grass during water stress. *Plant Physiology*, 41: 1222-1230.
7. Bates, L.S., R.P. Waldren and I.D. Teare. 1973. Rapid determination of free proline for water-stress studies. *Plant and Soil*, 39: 205-207.
8. Blum, A. and A. Ebercon. 1976. Genotypic responses in sorghum to drought stress. III. Free proline accumulation and drought resistance. *Crop Science*, 16: 428-431.
9. Bohnert, H.J., D.E. Nelson and R.G. Jensen. 1995. Adaptations to environmental stresses. *The Plant Cell*, 7:1099-1111.
10. Breusegem, F.V., E. Vranova, J.F. Dat and D. Inze. 2001. The role of active oxygen species in plant signal transduction. *Plant Science*, 161: 405-414.
11. Bradford, M.M. 1976. A rapid and sensitive method for the quantification of microgram quantities of protein utilizing the principle of protein dye binding. *Analytical Biochemistry*, 72: 248-254.
12. Chance, B. and A.C. Maehly. 1955. Assay of catalase and peroxidase. *Methods in enzymology*, 2: 764-775.
13. Crawford, L.A., A.W. Bown, K.E. Breitkreuz and F.C. Cuine. 1994. The Synthesis of γ-Aminobutyric Acid in Response to Treatments Reducing Cytosolic pH. *Plant Physiology*, 104: 865-871.
14. Davies, W. J., and Zhang, J. 1991. Root signals and the regulation of growth and development of plant in drying soil. *Ann. Rev. Plant Physiol. Plant Molecular Biology*, 42: 55-76.
15. De Campos, M.K.F., K. De Carvalho, F.S. De Souza, C.J. Marur, L.F.P. Pereira, J.C.B. Filho and L.G.E. Vieira. 2011. Drought tolerance and antioxidant enzymatic activity in transgenic ‘Swingle’ citrumelo plants over-accumulating proline. *Environmental and Experimental Botany*, 72: 242-250.
16. Delauney, A.J. and D.P. Verma. 1993. Proline biosynthesis and osmoregulation in plants. *The Plant Journal*, 4: 215-223.
17. De ronde J.A., M.H. Spreeth and W.A. Cress. 2000. Effect of antisense L- 1-pyrroline -5-carboxylate reductase transgenic soyabean plants subjected to osmotic and drought stress. *Plant Growth Regulation*, 32: 13-26.
18. Drossopoulos, J.B., A.J. Karamanos and C.A. Niavis. 1985. Changes in free amino compounds during the development of two wheat cultivars subjected to different degrees of water stress. *Annals of Botany*, 54: 291-305.
19. Galston, A.W. and R.K. Sawhney. 1990. Polyamines in plant physiology. *Plant Physiology*, 94: 406-410.
20. Ghobadi, M., S. Taherabadia, M.E. Ghobadi, Gh.R. Mohammadi and S. Jalali-Honarmand. 2013. Antioxidant capacity, photosynthetic characteristics and water relations of sunflower (*Helianthus annuus* L.) cultivars in response to drought stress. *Industrial Crops and Products*, 50: 29-38.
21. Good, A.G. and S.T. Zaplachinski. 1994. The effects of drought stress on free amino acid accumulation and protein synthesis in *Brassica napus*. *Physiology Plant*, 90: 9-14.
22. Graan, T. and J.S. Boyer. 1990. Very high CO₂ partially restores photosynthesis in sunflower at low leaf water potentials. *Planta*, 181: 378-384.
23. Huseynova, I.M. 2012. Photosynthetic characteristics and enzymatic antioxidantcapacity of leaves from wheat cultivars exposed to drought. *Biochimica et Biophysica Acta: Bioenergetics*, 1817: 1516-1523.

24. Jiang, Y. and B. Huang. 2001. Drought and heat stress injury to two cool-season turfgrasses in relation to antioxidant metabolism and lipid peroxidation contribution No. 00-227-J from Kansas. Agric. Exp. Stn. Crop Science, 41: 436-442.
25. Karamanos, A.J. 1995. The involvement of proline and some metabolites in water stress and their importance as drought resistance indicators. Bulgarian Journal of Plant Physiology, 21: 98-110.
26. Ketchum, R.E.B., R.C. Warren, L.J. Klima, F. Lopez-Gutierrez and M.W. Nabors. 1991. The mechanism and regulation of proline accumulation in suspension cultures of the halophytic grass *Distichlis spicata* L. Journal Plant Physiology, 137: 368-374.
27. Lal, A. and G.E. Edwards. 1996. Analysis of inhibition of photosynthesis under water stress in the C4 species *Amaranthus cruentus* and *Zea mays*: electron transport, CO₂ fixation and carboxylation capacity. Australian Journal Plant Physiology, 23: 403-412.
28. Liang, J.S., J. Zhang and M.H. Wong. 1997. Can stomata closure caused by xylem ABA explain the inhibition of leaf photosynthesis under soil drying?, Photosynthesis Research, 51: 149-159.
29. Lauer, M.J. and J.S. Boyer. 1992. Internal CO₂ measured directly in leaves. Abscisic acid and low leaf water potential cause opposing effects. Plant Physiology, 98: 1310-1316.
30. Liu, C., Y. Liu, K. Guo, D. Fan, G. Li, Y. Zheng, L. Yu and R. Yang. 2011. Effect of droughton pigments, osmotic adjustment and antioxidant enzymes in six woody plantspecies in karst habitats of southwestern, China. Environ. Experimental Botany, 71: 174-183.
31. Manivannan, P., C.A. Jaleel, R. Somasundaram and R. Panneerselvam. 2008. Osmoregu-lation and antioxidant metabolism in drought-stressed *Helianthus annuus* under triadimefon drenching. Comptes Rendus Biologies, 331: 418-425.
32. Marur C.J., L. Sodek and A.C. Magalhaes .1994. Free amino acids in leaves of cotton plants under water deficit. Rev Bras Fisiologia Vegetal, 6: 103-108.
33. Mirzaee M., A. Moieni and F. Ghanati. 2013. Effect of drought stress on proline and soluble sugar content in canola (*Brassica napus* L.) seedlings. Iranian Journal of Biology, 26: 90-98 (In Persian).
34. Nakano, Y. and K. Asada. 1987. Purification of ascorbate peroxidase in spinach chloroplasts; its inactivation in ascorbate-depleted medium and reactivation by monodehydroascorbate radical. Plant and Cell Physiology, 28: 131-140.
35. Qifuma, S.h., R. Niknam and D.W. Turner. 2006. Resposes of osmotic adjustment and seed yield of *Brassica napus* and *B. juncea* to soil water deficit at different growth stages. Australian Journal of Agricultural Research, 57: 221-226.
36. Rampino.P., S. Pataleo, C. Gerardi, J. Mita and C. Perrotta. 2006. Drought stress response in wheat: physiological and molecular analysis of resistant and sensitive genotypes. Plant Cell and Environment, 29: 2143-2152.
37. Reddy, A. R., K.V. Chaitany and M. Vivekanandan. 2004. Drought-induced responses of photosynthesis and antioxidant metabolism in higher plants Journal Plant Physiology, 161: 1189-1202.
38. Rhoades, J.D., F. Chanduvi and S.M. Lesch. 1999. Soil salinity assessment methods and interpretation of electrical conductivity measurements. Rome, Italy: Food & Agriculture Organization of the UN (FAO).
39. Saeeidpour, S. and F. Moradi. 2012. Stress-induced changes in the free amino acid composition of two wheat cultivars with difference in drought resistance. African Journal of Biotechnology, 11: 9559-9565.
40. Sanchez, A., Z.Y. Yang, L. Xu, G.J. Nabel, T. Crews and C.J. Peters. 1998. Biochemical analysis of the secreted and virion glycoproteins of Ebola virus. Journal of Virology, 72: 6442-6447.
41. Showler, A.T., C.O. Cavazos and P.J. Moran. 2007. Dynamics of free amino acid accumulations in cotton leaves measured on different timelines after irrigation. Subtropical Plant Science, 59: 38-55.
42. Showler, A. T. and B.A. Castro. 2010. Influence of drought stress on Mexican rice borer (Lepidoptera: Crambidae) oviposition preference in sugarcane. Crop Protection, 28: 722-727.
43. Singh, T.N., L.G. Paleg and D. Aspinall. 1973. Stress metabolism. I. nitrogen Metabolism and growth in the barley plant during stress. Australian Journal of Biological Sciences, 26: 45-56.
44. Valladares, F. and R.W. Pearcy. 1997. Interactions between water stress, sun-shade acclimation, heat tolerance and photoinhibition in the *Sclerophyll heteromeles arbutifolia*. Plant Cell Environment, 20: 25-36.
45. Willekens, H., S. Chamnongpol, M. Davey, M. Schraudner, C. Langebartels, M. Van Montagu, D. Inzé and W. Van Camp. 1997. Catalase is a sink for H₂O₂ and is indispensable for stress defence in C3 plants. EMBO Journal, 16: 4806-4816.
46. Yang, J., J. Zhang, Z. Huang, Z. Wang, Q. Zhu and L. Liu. 2002. Correlation of cytokinin levels in the endosperms and roots with cell number and cell division activity during endosperm development in rice. Animals of Bot. 90: 369-377.

Drought Stress Effect on Physiological Parameter and Amino Acids Accumulations in Canola

Hassan Zali¹, Tahereh Hasanloo², Omid Sofalian³, Ali Asghari³ and Mehrshad Zeinalabedini⁴

1 and 3- PhD Student and Associate Professor, University of Mohaghegh Ardabili

2- Assistant Professor, Department of Molecular Physiology, Agricultural Biotechnology Research Institute of Iran
(corresponding author: Thasanloo@abrii.ac.ir)

4- Assistant professor, Department of Genomics, Agricultural Biotechnology Research Institute of Iran

Received: January 19, 2015 Accepted: February 21, 2015

Abstract

This experiment was conducted to investigate of drought effect on some physiological parameters and amino acids accumulation in two canola cultivars (SLM046 and Cooper; tolerance and sensitive to water stress, respectively). The experiment was carried out during two growth phase (stem elongation and flowering stage) using irrigation levels consisting of irrigation after 80 mm evaporation from class "A" pan as control, no irrigation from stem elongation stage and flowering stage. The results showed that water stress significantly diminished seed yield, stomata conductance, chlorophyll a and b, carotenoid content and soluble protein content in leaves of both cultivars. Also antioxidant enzyme activity (catalase, peroxidase and ascorbate peroxidase) were enhanced with drought stress at stem elongation stage, but peroxidase and ascorbate peroxidase activity were decreased at flowering stage. The amino acids of Tryptophane, serine, glutamine and -amino butyric acid showed highest abundance of total amino acids at stem elongation stage, also glutamine, isoleucine, serine and histidine revealed highest amount of total amino acids at flowering stage. An increase in contains most of amino acids in response to drought stress at flowering stage was observed. The significant accumulation of aspartic acid, asparagines, glutamine, lysine, cysteine, tryptophane and phenylalanine under drought at elongation stage, and significant accumulation of glutamine, glycine, tyrosine, methionine, phenylalanine and isoleucine under drought at flowering stage were observed in the drought-tolerant SLM046, whereas no were showed the significant accumulation of amino acids in the drought-sensitive Cooper under drought. Thus it can conclude that tolerance of genotypes to drought stress is closely associated with their accumulation of free amino acids.

Keywords: Amino Acids, Antioxidante Enzymes, Chlorophyll, Canola, Drought Stress